

Tafelerklärung

Fig. 1: *Radiolitenkalk*. 1: zeigt die parallele Stellung der Rudisten (Begrenzungslinien etwas überzeichnet). Ober-Turon, Megara.

Fig. 2: *RADIOLITES LUSITANICUS* (BAYLE),
Nat. Gr. Ober-Turon, Megara.

Fig. 3: *RADIOLITES PERONI* (CHOFFAT),
Nat. Gr. Ober-Turon, Megara. Gerade Wuchsform.

Fig. 4: *RADIOLITES PERONI* (CHOFFAT).
Nat. Gr. Ober-Turon Megara. Gekrümmte Wuchsform.

(Originale im Geol.-palaeont. Institut der Universität Athen.

Phot. F. Sattler, Paläontolog. Institut der Universität Wien).

ΑΝΑΚΟΙΝΩΣΕΙΣ ΜΗ ΜΕΛΩΝ

ΣΤΡΩΜΑΤΟΓΡΑΦΙΑ. — Συμβολή εἰς τὴν γνῶσιν τοῦ Πλειοκαίνου εἰς τὴν Κεφαλληνίαν*. (Πρόδρομος ἀνακοίνωσις), ὑπὸ Εὐφροσύνης Γεωργιάδου · Δικαιούλια. Ἀνεκοινώθη ὑπὸ τοῦ κ. Μαξ. Κ. Μητσοπούλου.

Εἰς τὴν γεωλογικὴν κατασκευὴν τῆς νήσους Κεφαλληνία, πλὴν τῶν τριαδικῶν, ισιουρασικῶν καὶ αρχιτεικῶν διαπλάσεων, συμμετέχουν εἰς μεγάλην κλίμακα καὶ νεογενεῖς σχηματισμοί.

Θέμα τῆς παρούσης προδρόμου ἀνακοινώσεως ἡμῶν εἶναι ἡ μελέτη τῶν πλειοκαινικῶν σχηματισμῶν τῆς νήσου. Τὸ Νεογενὲς παρουσιάζει εἰς τὴν Κεφαλληνίαν μεγάλην ἀνάπτυξιν καὶ ἔξαπλωσιν κυρίως εἰς τὴν Χερσόνησον τῆς Παλικῆς. Ὁσαύτως νεογενεῖς σχηματισμοὶ ἀπαντοῦν ἐν ἀφθονίᾳ καὶ εἰς τὸ νότιον τμῆμα τῆς νήσου, ἵδικ κατὰ μῆκος τῆς παρακτίου λωρίδος ἀπὸ τοῦ ἀκρωτηρίου Λαρδιγός, νοτίως τοῦ Ἀργοστολίου, μέχρι τοῦ χωρίου Πόρος πρὸς ἀνατολάς.

Πρὸς ἐπακριβῆ προσδιορισμὸν τῆς γεωλογικῆς ἡλικίας τῶν ἐν λόγῳ στρωμάτων καὶ καθορισμὸν τῶν δρίων ἔξαπλώσεως τοῦ Νεογενοῦς ἐπεσκέψθημεν χάριν γεωλογικῶν μελετῶν κατ' ἐπανάληψιν τὴν Κεφαλληνίαν.

Τὸ ὅφ' ἡμῶν συλλεγὲν ὄλικὸν ἐν συνδυασμῷ πρὸς τὸ ὄλικὸν τὸ ὄποιον εὑρίσκεται κατατεθειμένον εἰς τὰς συλλογὰς τοῦ Γεωλογικοῦ καὶ Παλαιοντολογικοῦ Μουσείου συνίσταται κυρίως ἐκ Τρηματοφόρων. Σκαφοπόδων, Ἐλασματοβραγχίων, Γαστεροπόδων, Κοραλλίων καὶ Θυσσανοπόδων.

* E. GEORGIADOU - DIKEULIA, Beiträge zur Kenntnis des Pliozäns auf Kephallinia.

Ἐνταῦθα δίδομεν πλήρη πίνακα τῶν ἀντιπροσώπων οἵτινες προέρχονται ἐκ τῶν διαφόρων νεογενῶν περιοχῶν τῆς νήσου. Μέχρι τοῦτο ἡδυνήθημεν νὰ πιστοποιήσωμεν τὴν παρουσίαν τῶν κάτωθι εἰδῶν καὶ παραλλαγῶν ἐκ τῶν Μαλακίων:

Σκαφόποδα

1. *Dentalium sexangulum* SCHRÖTH.

2. *D. (Antale) dentale* LINNE

Ἐλασματοβράγχια

3. *Nucula nucleus* LINNE

4. *N. placentina* LAMARCK

5. *Arca* sp.

6. *A. noae* LINNE

7. *A. diluvii* LAMARCK

8. *A. tetragona* var. *parvulina* SACCO

9. *Barbatia barbata* LINNE

10. *Arcopsis lactea* LINNE

11. *Glycymeris (Axinea) bimaculata* POLI

12. *G. inflata* BROCCHI

13. *G. insubrica* BROCCHI

14. *G. clycymeris* LINNE

15. *G. pilosa* LINNE

16. *Limopsis aurita* BROCCHI

17. *L. (Pectunculina) anomala* EICHW.

18. *Mytilus galloprovincialis* LAMARCK

19. *M. edule* LINNE

20. *Modiola* sp.

21. *Pinna* sp.

22. *Amussium cristatum* BROCCHI

23. *Pecten jacobaeus* LINNE

24. *P. benedictus* LAMARCK

25. *Chlamys scabrella* LAMARCK

26. *Ch. opercularis* LINNE

27. *Ch. opercularis* var. *latecostata* MONTEROSATO

28. *Ch. opercularis* var. *audouinii* PAYR.

29. *Ch. varia* LINNE

30. *Ch. glabra* LINNE

31. *Ch. glabra* var. *anisopleura* LOCARD
32. *Ch. flexuosa* POLI
33. *Ch. flexuosa* var. *pyxoidea* LOCARD
34. *Ch. flexuosa* var. *duplicata* LOCARD
35. *Ch. flexuosa* var. *trisulcata* CERULLI - IRELLI
36. *Ch. multistriata* POLI
37. *Ch. clavata* POLI
38. *Ch. clavata* var. *estheris* CREMA
39. *Ch. radians* NYST
40. *Ch. zenonis* COWPER - REED
41. *Ch. inaequicostalis* LAMARCK
42. *Plicatula mytilina* PHILIPPI
43. *Lima (Mantellum) hians miosimplex* SACCO
44. *Anomia ephippium* LINNE
45. *Ostrea cochlear* POLI
46. *O. edulis* var. *lamellosa* BROCHI
47. *Astarte fusca* POLI
48. *Beguina (Glans) trapezia* LINNE
49. *Cardita (Actinobolus) antiquata* LINNE
50. *Isocardia cor* LINNE
51. *Lucinoma borealis* LINNE
52. *Myrtea spinifera* MONT.
53. *Lucina fragilis* PHIL.
54. *Loripes lacteus* LINNE
55. *Chama gryphoides* LINNE
56. *Ch. gryphina* LAMARCK
57. *Ch. placentina* DEF.
58. *Cardium (Cerastoderma) edule commune* MAY.
59. *C. (Parvicardium) papillosum* POLI
60. *C. oblongum* CHEMNITZ
61. *C. aculeatum* LINNE
62. *C. exiguum* GMELIN
63. *C. paucicostatum* SOW.
64. *C. echinatum* LINNE
65. *Dosinia exoleta* LINNE
66. *Callista (Meretrix) chione* LINNE

67. *Cytherea rудis* POLI
68. *Chione (Timoclea) ovata minor* DOLLFUS - DAUTZENBERG
69. *Venus (Ventricola) multilamella* LAMARCK
70. *V. (v.) multilamella* var. *boryi* DESH.
71. *V. fasciata* DA COSTA
72. *V. verrucosa* LINNE
73. *V. casina* LINNE
74. *V. lamellosa* DE RAYN.
75. *Tapes senescens* DÖDERL.
76. *Tellina serrata subtriangula* SACCO
77. *T. (Peronaea) planata* LINNE
78. *T. incarnata* LINNE
79. *T. pulchella* LAMARCK
80. *Gastrana fragilis* LINNE
81. *Corbula (Varicorbula) gibba* OLIVI

Γαστερόποδα

82. *Haliotis lamellosa* LAMARCK
83. *Diodora apertura* MONT.
84. *Diodora italicica* DEF.R.
85. *Patella caerulea* PHIL.
86. *Calliostoma ardens* var. *succincta* MONT.S.
87. *C. turbinatus* var. *ornatus* MONT.S.
88. *C. striatus* LINNE
89. *C. tumidus* MONTAGU
90. *C. divaricatus* LINNE
91. *Astrea tuberculata* SERR.
92. *A. (Bolma) rugosa* LINNE
93. *Phasianella speciosa* VON MÜHL.
94. *Rissoa lia* MONT.S.
95. *Bittium reticulatum* DA COSTA
96. *B. lacteum* PHIL.
97. *Cerithium vulgatum* BRUG.
98. *C. vulgatum* var. *taurominor* SACCO
99. *C. vulgatum* var. *pauciornata* SACCO
100. *C. (Thericium) varicosum* BROCCHI

101. *C. (Th.) varicosum* var. *transiens* SACCO
102. *Cerithiopsis tubercularis* MONTAGU
103. *Turritella tricarinata* BROCCHI
104. *T. terebralis* LAMARCK
105. *T. (Zaria) unicarinata* OLVIETO
106. *T. biplicata* BRN.
107. *T. (Haustator) tornatus* BROCCHI
108. *T. turris* BAST.
109. *Petaloconchus intortus* LAMARCK
110. *Lemintina arenaria* LINNE
111. *Lunatia catena helicina* BROCCHI
112. *L. catena helicina* var. *patoastensis* SACCO
113. *Natica millepunctata* LAMARCK
114. *N. millepunctata* var. *tigrina* DEF.
115. *N. millepunctata* var. *miocontorta* SACCO
116. *N. millepunctata* var. *magnopunctata* SACCO
117. *N. josephinia* RISSO
118. *Capulus ungaricus* LINNE
119. *Crepidula (Janachus) unguis* ORB.
120. *Xenophora crispa* KÖNIG
121. *Chenopus (Aporrhais) pes pelecani* LINNE
122. *C. (A) uttingerianus* RISSO
123. *Fusus rostratus* OLIVI
124. *F. rostratus* var. *crispa* BORS.
125. *Nemofusus fusulus* BROCCHI
126. *Pollia fusulus* var. *davidiana* FONT.
127. *Fusus longiroster* LAMARCK
128. *Murex brandaris* var. *torularius* BRONNI
129. *Euthria adunca* BRONNI
130. *Nassa clathrata* BROCCHI
131. *N. musiva* BROCCHI
132. *Vexillum ebenus ebenus* LAMARCK
133. *V. (Costellaria) plicatulum* BROCCHI
134. *Mitra fusiformis* BROCCHI
135. *M. scrobiculata* BROCCHI
136. *Turricula (Surcula) intermedia* BRON.
137. *Clavus (Drillia) allionii* BELLARDI
138. *Turris rotata* BROCCHI
139. *Raphitoma cf. harpula* BROCCHI
140. *Pleurotoma ramosa* BAST.
141. *P. subunda* BELLARDI

142. *Conus (Chelyconus) mediterraneus* HWASS

143. *Terebra acuminata acuminata* BORS.

Ἡ παρουσία, μεταξύ τῆς ἀνευρεθείσης παλαιοπανίδος, ἀντιπροσώπων κατ' ἔξοχὴν καθοδηγητικῶν, ἐπιτρέπει εἰς ἡμᾶς νὰ θεωρήσωμεν τὰ στρώματα ταῦτα ἀνήκοντα εἰς τὸ Πλειόκαινον.

Ἐκ τῆς ἀνωτέρω ἀναγραφομένης πανίδος τύποι καθοδηγητικοὶ διὰ τὸ Πλειόκαινον είναι οἱ κάτωθι:

Amussium cristatum BROCHI

Pecten benedictus LAMARCK

Chlamys scabrella LAMARCK

Ch. clavata var. *estheris* CREMA

Ch. zenonis COWPER - REED

Ἀντιπρόσωποί τινες ἐμφανίζονται κατὰ τὸ Μειόκαινον, παρουσιάζουν μεγάλην ἀνάπτυξιν κατὰ τὸ Πλειόκαινον καὶ ἐξαφανίζονται μὲ τὸ τέλος αὐτοῦ. Οἱ ως ἀνω ἀντιπρόσωποι θεωροῦνται ὡσαύτως χαρακτηριστικοὶ διὰ τὸ Πλειόκαινον καὶ είναι οἱ ἔξι:

Chlamys radians NYST

Astraea tuberculata SERR.

Murex brandaris var. *torularius* LAMARCK

Turritella biplicata BRN.

Euthria adunca BRONNI

Fusus logiroster BRONNI

Mitra scrobiculata BRONNI

Raphitoma cf. harpula BRONNI

Terebra acuminata acuminata BORS.

Ὥσαύτως εῖδη χαρακτηριστικὰ διὰ τὸ Πλειόκαινον θεωροῦνται τὰ ἐμφανιζόμενα ἀπὸ τῆς βάσεως αὐτοῦ καὶ ἐξαφανίζόμενα μὲ τὸ τέλος τοῦ Καλαβρίου ἢ Σικελίου. Ὡς τοιαῦτα ἀναφέρομεν τοὺς κάτωθι ἀντιπροσώπους:

Xenophora crispa KÖNIG

Nucula placentina LAMARCK

Chlamys inaequicostalis LAMARCK

Plicatula mytilina PHILIPPI

Chama placentina DEFRI.

Venus lamellosa DE RAYN.

Cerithium varicosum BROCHI

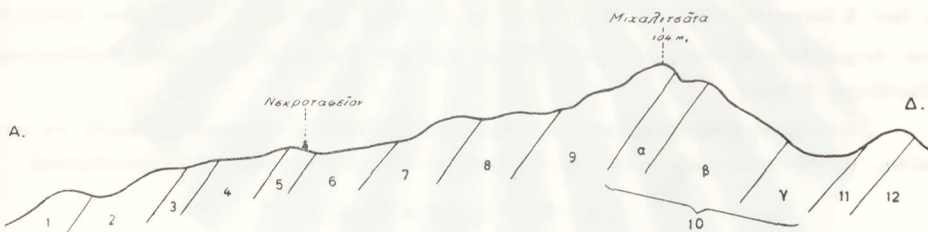
Chenopus uttingerianus RISSO

Nassa clathrata BROCHI

N. musiva BROCCHI*Mitra fusiformis* BROCCHI

Κατὰ τὴν διάρκειαν τῶν ἐν τῇ χερσονήσῳ τῆς Παλικῆς ἔργασιῶν μας παρετηρήσαμεν τὴν παρουσίαν τῆς ἑξῆς σειρᾶς στρωμάτων (βλέπε γεωλογικὴν τομὴν. Σχεδ. 1).

1 - 5. - μάργαρι φαμμιτικαὶ στρωσιγενεῖς ἐντὸς τῶν ὅποιων ἀφθονεῖ ἡ Ostrea.
6. - Πλαστικὴ μάργαρι. 7. - Μάργαρι περιέχουσα Ostrea καὶ Pectinidae. 8. - Μάργαρι τεφροῦ χρώματος, ἐν καταστάσει ἀποσαθρώσεως εύρισκόμεναι ἐνταῦθα ἀπαντοῦν Pectinidae, Natica καὶ Turritella. 9. - Τὸ στρῶμα τοῦτο ὁμοιάζει ἐν πολλοῖς πρὸς τοὺς ὄρίζοντας 5 καὶ 7. Ἐν συνεχείᾳ μεταπίπτομεν διαδοχικῶς πρὸς τὴν βαθμίδα 10. 10. - Εἶναι μία παχυτάτη σειρὰ ἐκ τεφρῶν ἔως τεφροκυάνων πλαστικῶν μαργάρων



Σχεδ. 1. Γεωλογικὴ τομὴ

ἐντὸς τῶν ὅποιων ἀφθονοῦν τὰ ἐλασματοβράγχια, τὰ γαστερόποδα καὶ τὰ σκαφόποδα. Ὁσαύτως ἀπαντοῦν τὰ Pecten, Isocardia cor, Ostrea coerulea καὶ Ostrea edulis var. lamellosa. 11. - Μάργαρι φαμμιτικὴ μὲν Pecten jacobaeus καὶ Pecten benedictus, Cardium oblongum, Cardium echinatum, Isocardia cor 12. - Ἀργιλικὴ μάργαρα ἐνθυμητίζουσα ἐν πολλοῖς τὴν πλαστικὴν ἀργιλον (Tegel) τῆς βιενναίας λεκάνης.

Εἰς τὴν ἑτέραν νεογενῆ περιοχὴν τῆς νήσου, ἥτις ἐκτείνεται κατὰ μῆκος μιᾶς παρακτίου λωρίδος μέσου πλάτους 10 - 15 km. τὸ Νεογενὲς ἀπαντᾶ εἰς τὰς κλιτούς τοῦ ὄρεινοῦ ὅγκου τοῦ Αἴνου.

Οἱ στρωματογραφικοὶ ὄριζοντες τοῦ Πλειοκαίνου εἰς αὐτὴν τὴν περιοχὴν διακρίνονται σαφῶς εἰς τὰς παρακτίους ἀποθέσεις, χάρις εἰς τὴν διαβρωτικὴν ἐνέργειαν τοῦ ὅπατος. Εἰς τὴν περιοχὴν δυτικῶς τοῦ χωρίου Κατελιό ἐντὸς συμπαγοῦς φαμμίτου ὑπάρχει πλουσιωτάτη πανὶς κυρίως ἀντιπροσώπων τῆς οἰκογενείας Pectinidae, ὡς ἐπίσης καὶ ἀνατολικῶς αὐτοῦ πρὸς τὸ ἀκρωτήριον τῆς Σκάλας ἐντὸς ὑποκιτρίνου συμπαγοῦς ἄμμου. Εἰς τὴν περιοχὴν τῶν χωρίων Πεσάδες - Κλείσματα ὡς καὶ ἀνατολικῶς τοῦ χωρίου Πεσάδες ἐντὸς συμπαγοῦς φαμμίτου συνελέξαμεν πλουσιώτατον παλαιοντολογικὸν ὄλικόν. Εἰς τινα σημεῖα, ὡς εἰς τὴν περιοχὴν τοῦ Ἀσπρου Βράχου δυτικῶς τοῦ Ἀργοστολίου, ὑπάρχει ἐπιφανειακῶς ὄριζων ἐξ ἀπολιθωματοφόρου

ψαμμίτου μόνον, ἐνῷ εἰς ἔτερας περιοχὰς ἐπιφανειακῶς ἐμφανίζονται αἱ μάργαι καὶ τοῦτο διότι ὁ ψαμμίτης ἔχει ὑποστῆ ἀποσάθρωσιν.

Ἐκ τοῦ γεγονότος, ὅτι αἱ ἐν λόγῳ περιοχαὶ καὶ δὴ ἡ περιοχὴ τοῦ νοτίου τμήματος τῆς νήσου ἐνθυμίζει εἰς ἡμᾶς εἰς μέγαν βαθμὸν τοὺς πλειοκατικοὺς σχηματισμοὺς τῆς Κερκύρας (Λευκίμμης), φάσεως Πλακεντίου καὶ ἐκ τοῦ ὅτι τὸ ὄλικὸν παρουσιάζεται λεπτομερὲς καὶ μεταξύ τῶν ἀντιπροσώπων ἀνευρέθησαν πλεῖστοι ζῶντες εἰς μεγάλα βάθη, ὡς τὸ Chenopus uttingerianus RISSO (150 - 200 m.), χαρακτηρίζομεν καὶ τὸ Πλειόκανον τῆς Κεφαλληνίας ὡς φάσεως Πλακεντίου.

Z U S A M M E N F A S S U N G

Auf Kephallinia finden sich, im Gebiet der Halbinsel Paliki und in der Küstenregion des Südteils, besonders von Kap Lardigos (südlich von Argostolion) bis zum Dorf Poros auf der Ostseite der Insel, Sedimente pliozänen Alters.

Dem petrographischen und paläontologischen Charakter nach zu urteilen, handelt es sich hier um Schichten des Piacentiano (Tiefseefacies).

B I B L I O G R A F I A

1. HAGN, H., Mikropaläontologische Untersuchungen an Gesteinen der Insel Kephallinia (Adriatisch - Jonische Zone Griechenlands) - Ann. Géol. des pays hell. 9, 1958, p. 89-118. Ἀθῆναι 1958.
2. HAMILTON, W. J. and STRICKLAND H. E., On a tertiary deposit near Lixuri. Quart. Journ. of the Geol. Soc. of London III, 1847, s. 106-113.
3. MÜLLER-MINY, H., Beiträge zur Morphologie und Geologie der mittleren ionischen Inseln. II. Beobachtungen auf Kephallinia. Ann. géol. des pays hell. 9, 1958, s. 73-89.
4. PARTCH, J., Kephallenia und Ithaka. Eine geographische Monographie. Erg. Heft 98 zu Petrmanns Mitteilungen Gotha, 1890. Mit Übers. Karte 1 : 100000.
5. RENZ, G., Die Tektonik der griechischen Gebirge. : Πραγματεῖαι τῆς Ἀκαδημίας Ἀθηνῶν, τόμ. 8, Ἀθῆναι 1940.

EPMHNEIA TΩΝ EIKONΩΝ

ΠΙΝΑΞ I

Εἰκ. 1. *Pecten benedictus* LAMARCK

Εἰκ. 2. *Amussium cristatum* BROCCHI

2a. ἐξωτερικὴ ὄψις δεξιᾶς θυρίδος.

2b. ἐσωτερικὴ ὄψις αὐτῆς θυρίδος.

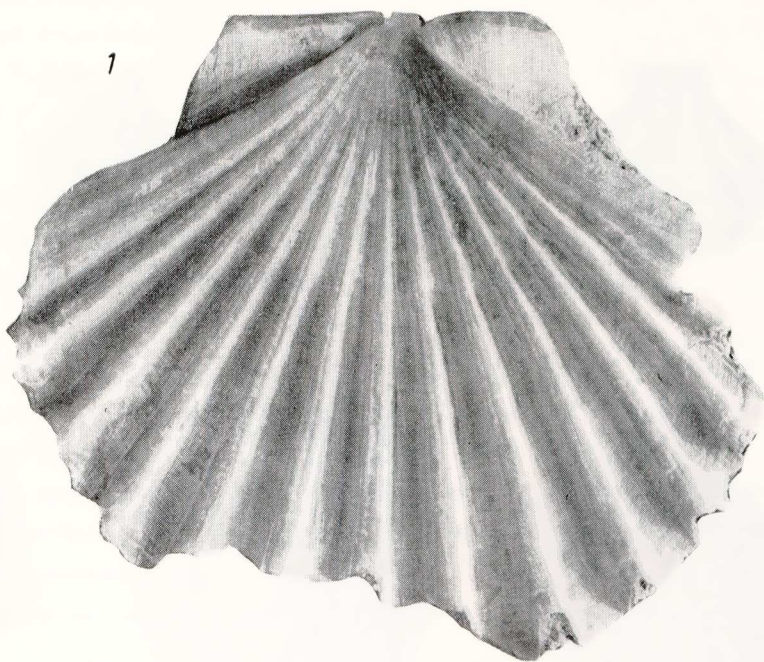
ΠΙΝΑΞ II

Εἰκ. 1. *Chlamys clavata* var. *estheris* CREMA

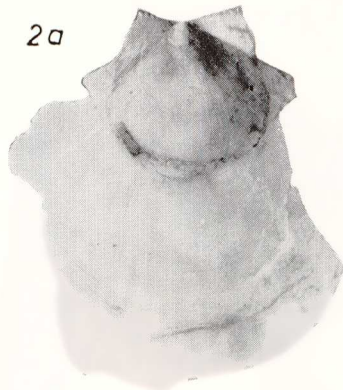
1a. ἐξωτερικὴ ὄψις δεξιᾶς θυρίδος.

ΕΥΦΡ. ΓΕΩΡΓΙΑΔΟΥ - ΔΙΚΑΙΟΥΛΙΑ. — ΣΥΜΒΟΛΗ ΕΙΣ ΤΗΝ ΓΝΩΣΙΝ ΤΟΥ ΠΛΕΙΟΚΑΙΝΟΥ
ΕΙΣ ΤΗΝ ΚΕΦΑΛΛΗΝΙΑΝ

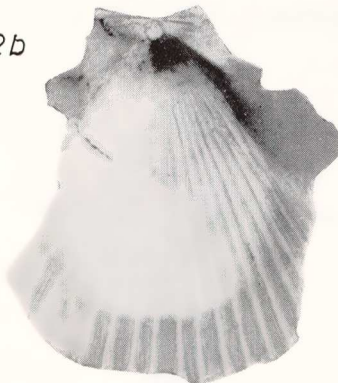
1



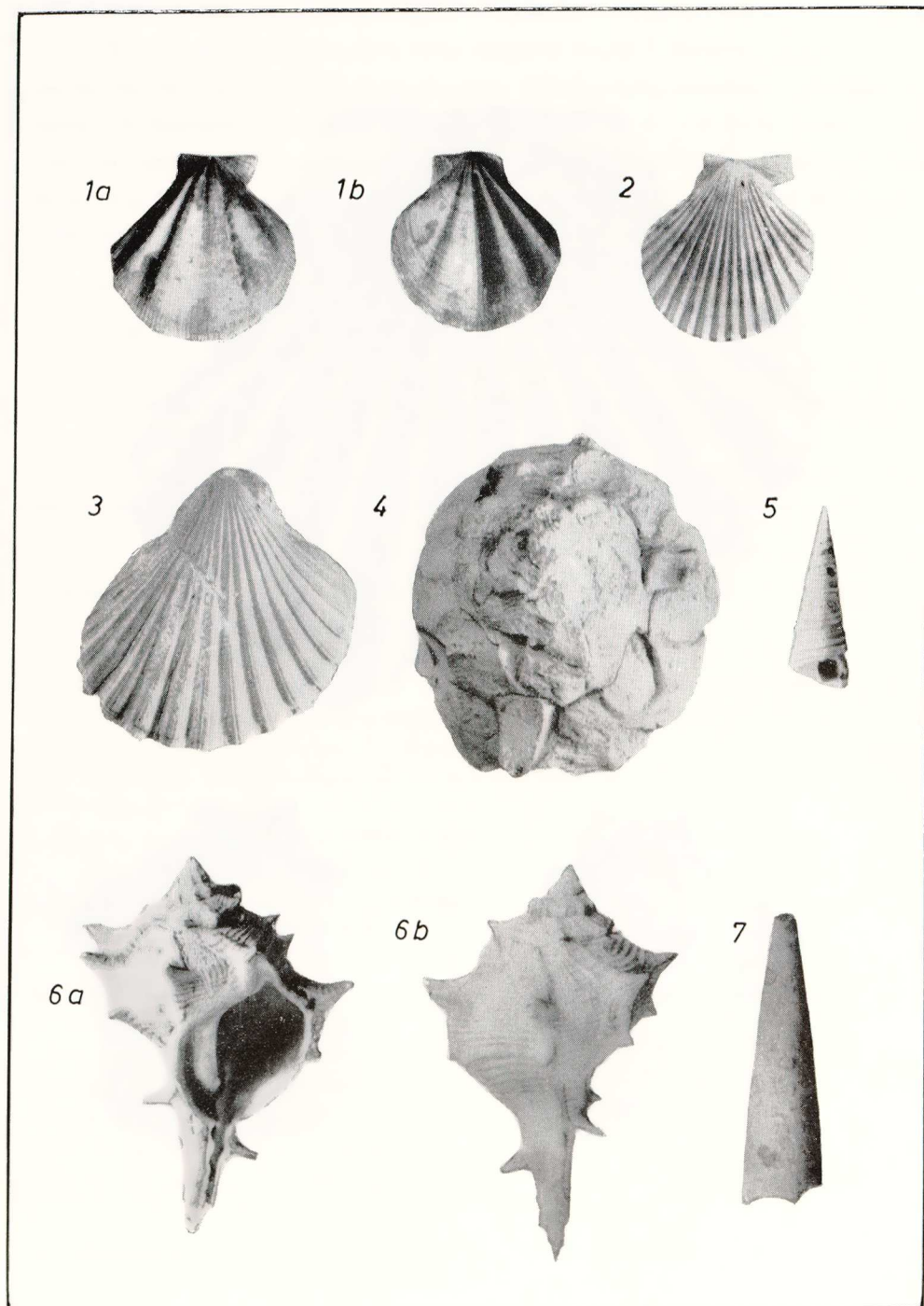
2a



2b



ΕΥΦΡ. ΓΕΩΡΓΙΑΔΟΥ - ΔΙΚΑΙΟΥΛΙΑ.—ΣΥΜΒΟΛΗ ΕΙΣ ΤΗΝ ΓΝΩΣΙΝ ΤΟΥ ΠΛΕΙΟΚΑΙΝΟΥ
ΕΙΣ ΤΗΝ ΚΕΦΑΛΛΗΝΙΑΝ



1b. ἔξωτερην ὄψις ἀριστερᾶς θυρίδος.

Εἰκ. 2. *Chlamys zenonis COWPER - REED*

Εἰκ. 3. *Chlamys scabrella LAMARCK*

Εἰκ. 4. *Xenophora crispa KOENIG*

Εἰκ. 5. *Turritella biplicata BRONNI*

Εἰκ. 6. *Murex brandaris* var. *torularius LAMARCK*

Εἰκ. 7. *Terebra acuminata acuminata BORS.*

MHXANIKH. – On the Convergence of Series Related to Principal Modes of Nonlinear Systems*, by Demetrios G. Magiros **. Ανεκοινώθη ύπό τοῦ Ἀκαδημαϊκοῦ κ. Ἱωάνν. Ξανθάκη.

I. INTRODUCTION

a. In previous papers [1], where the principal modes of a «dual mode» nonlinear system have been discussed, the solution is found in the form of series. The object of the present announcement is to give a brief discussion of the convergence of these series. Details of the discussion will appear in a forthcoming paper. The convergence is based on the «Abel's test» of convergence.

b. We state for reference that the solution found is the following series:

$$(a). \quad x(t) = a_0 + 2a_1 \cos \omega t + \frac{2\lambda_1 a_1^3}{k_s} \cos 3\omega t + 2 \sum_N a_N \cos N\omega t \quad (1)$$

$$(b). \quad \psi(t) = \frac{\lambda_s a_0}{\omega^2} + \frac{2\lambda_s a_1}{\omega^2 - \omega^2} \cos \omega t + \frac{2\lambda_1 \lambda_s a_1^3}{k_s (\omega^2 - 3^2 \omega^2)} \cos 3\omega t + 2 \sum_N \frac{\lambda_s a_N}{\omega^2 - N^2 \omega^2} \cos N\omega t$$

where:

$$(a). \quad a_{N=2n} = (-1)^n a_0 p_2 p_4 \dots p_{2n}, \quad n = 1, 2, 3, \dots$$

$$(b). \quad a_{N=2n+1} = (-1)^{\frac{n+1}{2}} \frac{\lambda_1 a_1^3}{k_s} p_5 p_7 \dots p_{2n+1}, \quad n = 2, 3, 4, \dots$$

$$(c). \quad p_N = \frac{3\lambda_1 a_1^2}{k_N} \left[1 - \frac{6\lambda_1 |a_1|^2}{k_N} + \left(\frac{6\lambda_1 |a_1|^2}{k_N} \right)^2 - \dots \right] \quad (2)$$

$$(d). \quad k_N = -N^2 \omega^2 + \omega_1^2 + \frac{\lambda_s \lambda_1}{N^2 \omega^2 - \omega_2^2}$$

* Of the Valley Forge Space Technology Center of the General Electric Comp. M.S.D. Philadelphia, Pa.

** ΔΗΜ. ΜΑΓΕΙΡΟΥ, 'Επὶ τῆς συγκλίσεως σειρῶν τῶν πρωταρχικῶν ταλαντώσεων μὴ γραμμικῶν συστημάτων.